

## บทที่ 2

### ตรวจเอกสาร

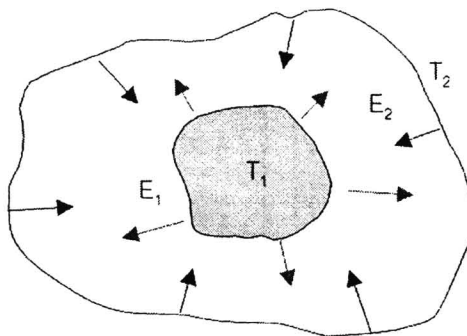
#### 2.1 การแพร่รังสีอินฟราเรด

ในปี ก.ศ. 1800 นักวิทยาศาสตร์ชาวอังกฤษ Sir William Herschel เป็นผู้ค้นพบคลื่นรังสีอินฟราเรด (Infrared: IR) หรือคลื่นรังสีความร้อน ซึ่งเป็นคลื่นแม่เหล็กไฟฟ้าชนิดหนึ่งแต่มาจากการความอาทิตย์ ค้นพบโดยการทดลองวัดอุณหภูมิของแบบตีรุ่งจากปริชีม โดยเลื่อนเทอร์โนมิเตอร์จากแบบตีม่วงไปยังแบบตีแดงพบว่าอุณหภูมิมีค่าเพิ่มขึ้นโดยมีค่าสูงสุดที่แบบตีแดง ขอบเขตดังกล่าวเรียกว่า “อินฟราเรด” (ขอบเขตต่ำกว่าแบบตีแดง) ซึ่งเป็นคลื่นแม่เหล็กไฟฟ้าที่มีความยาวคลื่น 0.75 ถึง 100 μm มีความถี่ในช่วง 1011 – 1014 Hz และมีคุณสมบัติไม่เบียงเบนในสถานะแม่เหล็กไฟฟ้า โดยเมื่อความถี่สูงขึ้นพลังงานจะสูงขึ้นตามไปด้วย และเนื่องจากย่านรังสีอินฟราเรดอยู่ในช่วงคลื่นที่มีความถี่ต่ำกว่าความถี่ของแสงสีแดง มนุษย์จึงไม่สามารถมองเห็นรังสีอินฟราเรดแต่สามารถรู้สึกถึงความร้อนได้ โดยวัดอุณหภูมนิพธ์ที่มีอุณหภูมิสูงกว่าค่าศูนย์องศาสัมบูรณ์ (Absolute Zero หรือ - 273.15°C หรือ 0 K) จะมีการแพร่รังสีอินฟราเรดออกมามากกว่าวัตถุที่ร้อนจะแพร่รังสีออกมากกว่าวัตถุที่เย็น (ประวิทย์, 2553)

การแพร่รังสีอินฟราเรดสัมพันธ์กับพลังงานที่สารแพร่องามา ณ อุณหภูมนิพธ์ๆ โดยกลไกของ การแพร่รังสีอินฟราเรดเกี่ยวกับพลังงาน เนื่องจากการสั่น (Oscillations) และการเคลื่อนที่ (Transition) ของอิเลคตรอนซึ่งประกอบกันเป็นสาร วัตถุที่มีอุณหภูมิสูงอิเลคตรอนจะสั่นหรือเคลื่อนที่มากส่งผลให้พลังงานภายในวัตถุมีค่าสูง กล่าวได้ว่าการแพร่รังสีอินฟราเรดเกี่ยวกับพลังงานภายในสาร โดยก้าชาและของแข็งชนิดกึ่งโปร่งแสง (semi-transparent) เช่น กระจก การแพร่รังสีจะเป็นปรากฏการณ์เชิงปริมาตร (volumetric phenomenon) คือการแพร่รังสีความร้อนจากสารเป็นผลรวมของการแพร่รังสีอินฟราเรดที่จุดใดๆ ของสารนั้นตลอดทั้งปริมาตร ซึ่งในที่นี้จะเน้นไปที่การแพร่รังสีอินฟราเรดในลักษณะที่เรียกว่าเป็นปรากฏการณ์พื้นผิว (surface phenomenon) กล่าวคือในของแข็งและของเหลวส่วนใหญ่ รังสีอินฟราเรดที่แพร่องามาโดยโน้มเลกุลภายในจะถูกโน้มเลกุลที่ติดกันดูดซึมเอาไว้เก็บทั้งหมดซึ่งเป็นผลให้รังสีอินฟราเรดที่แพร่องามาจากของแข็งหรือของเหลว สามารถคิดได้ว่ารังสีอินฟราเรดแพร่องามมาจากโน้มเลกุลบริเวณใกล้พื้นผิว หรือเป็นปรากฏการณ์พื้นผิว

รังสีอินฟราเรดหรือรังสีความร้อนจะแพร่องามจากพื้นผิววัตถุในรูปแบบของพลังงานคลื่นแม่เหล็กไฟฟ้า ดังรูปที่ 2.1 โดยรังสีอินฟราเรดหรือรังสีความร้อนที่ตกกระทบลงบนพื้นผิววัตถุ บางส่วนจะถูกดูดกลืน (Absorbed) บางส่วนจะสะท้อน (Reflected) และบางส่วนจะทะลุผ่าน

ออกໄປ (Transmitted) โดยกำหนดความสามารถในการดูดซับ (Absorbtivity) การสะท้อน (Reflectivity) และการส่งผ่าน (Transmissivity) คือ  $\alpha$ ,  $\rho$  และ  $\tau$  ตามลำดับ



รูปที่ 2.1 แสดงการถ่ายเทพลังงานคลื่นแม่เหล็กไฟฟ้าของวัตถุ

### การแผ่รังสีของวัตถุดำ (Blackbody Radiation)

วัตถุดำคือวัตถุทางอุณหภูมิที่มีคุณสมบัติดังต่อไปนี้

1. วัตถุดำจะดูดซึม (absorb) รังสีที่มาต่อกันทุกทิศทวนทั้งหมด ไม่ว่าจะเป็นที่ความยาวคลื่นและทิศทางใด

2. ที่ความยาวคลื่นและอุณหภูมินั่งๆ ไม่มีวัตถุใดสามารถแผ่รังสีได้เท่ากับวัตถุดำ

3. เมื่อรังสีอินฟราเรดที่แผ่ออกจากวัตถุดำเป็นฝังก์ชันของความยาวคลื่นและอุณหภูมิแต่ไม่ขึ้นอยู่กับทิศทาง นั่นคือวัตถุดำเป็น “diffuse emitter”

เนื่องจากวัตถุดำสามารถดูดซึมและแผ่รังสีอินฟราเรดได้โดยสมบูรณ์ จึงใช้วัตถุดำเป็นวัตถุมาตรฐานสำหรับเปรียบเทียบปริมาณการแผ่รังสีที่ออกจากการพื้นผิวจริงๆ กับปริมาณการแผ่รังสีที่ออกจากการวัดถูกต้อง แม้ว่าจะมีพื้นผิวบางชนิดที่สามารถประมาณได้ว่ามีลักษณะเป็นวัตถุดำแต่ในความเป็นจริงแล้วไม่มีพื้นผิวใดที่มีลักษณะเป็นวัตถุดำโดยแท้จริง

### การแผ่รังสีจากพื้นผิวจริง (Real surface Emission)

จากคำกล่าวที่ว่าไม่มีพื้นผิวใดสามารถแผ่รังสีอินฟราเรดได้มากกว่าวัตถุดำ ดังนั้นจึงใช้วัตถุดำเป็นสิ่งเปรียบเทียบความสามารถในการแผ่รังสีของพื้นผิวจริง ซึ่งความสามารถในการแผ่รังสีของพื้นผิวหรือค่า  $\epsilon$  เป็นคุณสมบัติของวัตถุเกี่ยวกับการแผ่รังสีความร้อน โดยเป็นสัดส่วนของรังสีที่แผ่ออกจากพื้นผิวจริงต่อรังสีที่แผ่ออกจากการวัดถูกต้อง อุณหภูมิเดียวกัน ซึ่งค่า  $\epsilon$  ของวัตถุจะสัมพันธ์กับทิศทางและความคลื่นของรังสีอินฟราเรดที่ถูกแผ่ออกมา

Total hemispherical emissivity เป็นค่าเฉลี่ยของ Emissivity ตลอดทุกทิศทางและทุกความยาวคลื่น มีคำจำกัดความเป็น

$$\varepsilon(T) \equiv \frac{E(T)}{E_b(T)} \quad (2.1)$$

จากสมการต่อๆ ข้างต้นเห็นได้ว่า หากค่า  $\varepsilon$  ของพื้นผิวที่สามารถคำนวณหาค่าอัตราการแผ่รังสีต่างๆ ของพื้นผิวได้

ตารางที่ 2. 1 ค่า Emissivity ของพื้นผิวสิ่งของชีวิต

Material's Surface	Wavelength (λ:μm)	Temperature (K)	Emissivity (ε)	Reference
Stainless Steel; Types 304		489	0.44	Fogiel, 1992.
Stainless Steel; Types 316; Polished			0.28	Amidon, 1999.
Stainless Steel	1-1,000		0.60	Saravacos and Kostaropoulos, 2002
Bread	10		> 0.80	Kress-Rogers and Brimelow, 2005.
Chocolate	10		0.85	Kress-Rogers and Brimelow, 2005.
Coke Dough	8 - 13		0.95-1.00	Bentley, 1998.
	1-1000		0.85	Saravacos and Kostaropoulos, 2002
Fat beef	1-1000		0.78	Saravacos and Kostaropoulos, 2002
Ice; Rough		300	0.99	Brewster, 1992.
Ice; Smooth		300	0.97	Brewster, 1992.
Lean beef	1-1000		0.74	Saravacos and Kostaropoulos, 2002
Paper		300	0.90-0.98	Brewster, 1992.
Vegetation		300	0.92-0.96	Brewster, 1992.
Water	9.3		0.96	Rao (2010)

## 2.2 รังสีที่แผ่ออกจากพื้นผิววัตถุ (Radiosity: J) (Incropera, et al., 2005)

รังสีอินฟราเรดทั้งหมดที่แผ่ออกจากพื้นผิววัตถุจริง (Radiosity: J) ประกอบด้วยรังสีที่เกิดจากวัตถุเอง (Emission: E) และรังสีที่มาจากสิ่งแวดล้อม (Irradiation, G) ที่มาจากการสิ่งแวดล้อมโดยรอบหรือจากวัตถุอื่นๆ มาก่อน

Irradiation (G) เป็นรังสีที่มาจากสิ่งแวดล้อมโดยรอบหรือจากการแผ่รังสีของวัตถุอื่นๆ มาก่อน กับวัตถุ โดยรังสีดังกล่าวอาจมีต้นกำเนิดมาจากหลายแหล่งและอาจมาจากทุกทิศทาง ซึ่ง Irradiation จะสัมพันธ์กับความยาวคลื่นของรังสีอินฟราเรดที่ถูกแผ่ออกมา โดย

Spectral irradiation ( $G_\lambda$ ) เป็นอัตราการตกกระทบกับพื้นผิววัตถุหนึ่งหน่วยจากรังสีความร้อนที่มีความยาวคลื่น  $\lambda$

Total irradiation ( $G$ ) เป็นอัตราการตกกระทบกับพื้นผิวหนึ่งหน่วยตลอดทุกความยาวคลื่น

Irradiation ที่มาตกกระทบวัตถุบางส่วนจะถูกวัดคุณดูชับไว้ (Absorption: A or  $G_{\lambda_{abs}}$ ) บางส่วนจะสะท้อนออกจากวัตถุ (Reflection: R or  $G_{\lambda_{ref}}$ ) และบางส่วนจะทะลุผ่านวัตถุไป (Transmission: T or  $G_{\lambda_{tr}}$ )

$$G = G_{\lambda_{abs}} + G_{\lambda_{ref}} + G_{\lambda_{tr}}$$

หรือ

$$G = A + R + T \quad (2.2)$$

Irradiation ( $G$ ) = A+R+T (สมการ 16) หากนำ  $G$  หารตลอด จะได้

$$1 = \frac{A}{G} + \frac{R}{G} + \frac{T}{G}$$

ซึ่ง  $A/G$  คือความสามารถในการดูดซับ (Absorptivity:  $\alpha$ ) ส่วน  $R/G$  คือความสามารถในการสะท้อน (Reflectivity:  $\rho$ ) และ  $T/G$  คือความสามารถในการส่งผ่าน (Transmissivity:  $\tau$ ) หากเขียนสมการใหม่จะได้

$$\alpha + \rho + \tau = 1 \quad (2.3)$$

โดยที่ค่าทั้งสามของวัตถุใด ๆ จะแตกต่างกันขึ้นอยู่กับสมบัติต่างๆ ของวัตถุ

จากที่เครื่องซอฟฟ์แวร์ได้กล่าวไว้ว่า เมื่อวัตถุอยู่ในสภาพแวดล้อมความสามารถในการดูดซับของวัตถุ ( $\alpha$ ) จะเท่ากับความสามารถในการแผ่รังสีของวัตถุเอง ( $\epsilon$ ) หรือ  $\alpha = \epsilon$  และหากวัตถุเป็นวัตถุทึบแสง (Opaque) วัตถุจะไม่มีคุณสมบัติการส่งผ่าน ( $\tau=0$ ) ดังนั้นจากสมการ (2.2) จะได้ว่า

$$\epsilon + \rho = 1 \quad (2.4)$$

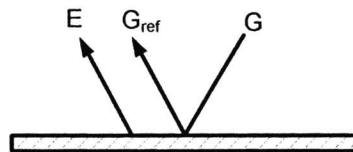
ส่วนวัตถุที่เป็น Black body จะดูดซับรังสีที่มากระทบวัตถุไว้ทั้งหมดซึ่งไม่มีคุณสมบัติในการสะท้อน ( $\rho = 0$ ) จะได้

$$\epsilon = 1 \quad (2.5)$$

ดังนั้นพลังงานรังสีที่แผ่จาก Black body จึงมีเฉพาะพลังงานที่เกิดจากการแผ่รังสีของวัตถุเอง (Perfect Reflector)

รังสีอินฟราเรดทั้งหมดที่แผ่ออกจากพื้นผิววัตถุจริง (Radiosity:  $J$ ) ประกอบด้วยรังสีที่เกิดจากวัตถุเอง (Emission:  $E$ ) และ Irradiation ที่มาจากสิ่งแวดล้อมโดยรอบหรือจากวัตถุอื่นมากระทบและสะท้อนออกจากวัตถุ ( $G_{\lambda_{tr}}$ ) ดังนั้น Radiosity ที่ออกมากจากวัตถุจึงเป็น

$$J = E + G_{\lambda_{tr}} \quad (2.6)$$



รูปที่ 2.2 รังสีอินฟราเรดทั้งหมดที่แผ่ออกจากพื้นผิววัตถุจริง

การคูคชืมและการสะท้อนของพื้นผิวเป็นตัวการสำคัญในการมองเห็นสี ส่วนการแผ่รังสี (Emission) มากไม่มีผล ทั้งนี้ เพราะวัตถุทั่วไปมีอุณหภูมิต่ำกว่า 1000 K และการแผ่รังสีจึงหนาแน่นอยู่ในช่วง Infrared ซึ่งมองด้วยตาเปล่าไม่เห็น ดังนั้นสีที่ปรากฏต่อสายตาจึงขึ้นอยู่ว่าวัตถุจะคูคชืม และสะท้อน (Irradiation) ในช่วงความคลื่นใด เช่นเห็นว่าเสื้อมีสีแดง เพราะเสื้อได้คูคชืมรังสีในช่วงความยาวคลื่นของสีเขียว ไว้และสะท้อนรังสีในช่วงความยาวคลื่นของสีแดง และเห็นว่าพื้นผิวมีสีดำ เพราะพื้นผิวได้คูคชืมรังสีที่ตกกระทบในย่านการมองเห็นทั้งหมด ส่วนพื้นที่ผิวที่เห็นเป็นสีขาวก็ เพราะพื้นผิวสะท้อนรังสีในย่านการมองเห็นทั้งหมด อายุ่ไรมานมีการพิจารณาให้ถูกต้อง กับการมองเห็นสีนี้ สำหรับค่า Irradiation หนึ่งๆ สีของพื้นผิวอาจไม่แสดงถึงการตอบรับรังสีทั้งหมดของพื้นผิวได้ ทั้งนี้ เพราะ Irradiation ส่วนใหญ่อาจอยู่ในย่านที่มองไม่เห็นด้วยตาเปล่า ตัวอย่างเช่น หิมะที่มองเห็นเป็นสีขาวนั้น เพราะสะท้อนรังสีในย่านการมองเห็นทั้งหมด แต่คูคชืมรังสีส่วนใหญ่ในช่วง Infrared และสามารถประมาณได้สมือนเป็นวัตถุดำในย่าน Infrared (คลื่นยาว) นี้

### 2.3 การแลกเปลี่ยนความร้อนระหว่างพื้นผิว (Radiation Exchange between Surfaces)

รังสีที่แผ่ออกจากพื้นผิวของวัตถุ 1 ( $q_1$ ; w) มีค่าเป็น

$$q_1 = J_1 A_1 \quad (2.7)$$

ส่วนรังสีที่แผ่ออกจากพื้นผิวของวัตถุ 2 ( $q_2$ ; w) มีค่าเป็น

$$q_2 = J_2 A_2 \quad (2.8)$$

โดย  $J_1$  และ  $J_2$  คือ รังสีที่แผ่ออกจากรัศมีวัตถุ 1 (Radiosity1:  $w/m^2$ ) และรังสีที่แผ่ออกจากรัศมีวัตถุ 2 (Radiosity2:  $w/m^2$ ) ตามลำดับ  $A_1$  และ  $A_2$  คือ พื้นที่ผิวของวัตถุ 1 และวัตถุ 2 ที่มีการแผ่รังสีอินฟราเรดออกมานา ( $m^2$ )

เมื่อพิจารณาการแผ่รังสีของวัตถุ 2 วัตถุ พบร่วมกันว่ามีการแลกเปลี่ยนรังสีความร้อนกันระหว่างวัตถุทั้งสอง โดยรังสีที่แผ่ออกจากรัศมีวัตถุ 1 บางส่วนไปตกกระทบบนพื้นผิวของวัตถุ 2 ( $q_{1 \rightarrow 2}$ :  $w/m^2$ ) ในขณะเดียวกันรังสีที่แผ่ออกจากรัศมีวัตถุ 2 บางส่วนจะไปตกกระทบบนวัตถุ 1 ( $q_{2 \rightarrow 1}$ :  $w/m^2$ )

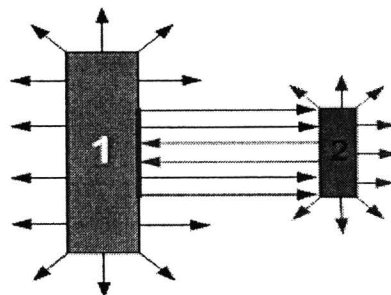
สัดส่วนของรังสีความร้อนออกจาก 1 ไปตก 2 เรียกว่า View Factor <sub>12</sub> ( $F_{12}$ ) หรือ

$$F_{12} = \frac{q_{1 \rightarrow 2}}{J_1 A_1} \quad (2.9)$$

ในทำนองเดียวกันสัดส่วนของรังสีความร้อนออกจาก 2 ไปตก 1 เรียกว่า View Factor <sub>21</sub> ( $F_{21}$ ) หรือ

$$F_{21} = \frac{q_{2 \rightarrow 1}}{J_2 A_2} \quad (2.10)$$

เมื่อพิจารณารังสีที่แผ่จากวัตถุ 1 ตกกระทบบนวัตถุ 2 พบว่า รังสีที่วัตถุ 2 ได้รับเป็นรังสีจากวัตถุ 1 ที่อยู่ในพื้นที่การมองเห็นของวัตถุ 2 (Field of view) ในทำนองเดียวกันเมื่อพิจารณารังสีที่แผ่จากวัตถุ 2 ตกกระทบบนวัตถุ 1 พบว่า รังสีที่วัตถุ 1 ได้รับเป็นรังสีจากวัตถุ 2 ที่อยู่ในพื้นที่การมองเห็นของวัตถุ 1 (Incropera, et al.,2005)



รูปที่ 2.3 การแลกเปลี่ยนรังสีระหว่างวัตถุ 2 วัตถุ

#### 2.4 เปรียบเทียบการแผ่รังสีจากวัตถุจริงและวัตถุคำ

โดยทั่วไปการกระจายของรังสีตามความยาวคลื่น (Spectral distribution) ของรังสีที่แผ่ออกจากพื้นผิวจริงนั้นแตกต่างจาก Planck distribution เนื่องจากการแผ่รังสีจากพื้นผิวจริงขึ้นอยู่กับทิศทางดังนี้  $\epsilon$  ที่ความยาวคลื่นและทิศทางต่างๆ จึงอาจมีค่าต่างกันออกไป (Incropera, 2005)

จากกฎของ Stefan-Boltzmann  $E_b(T) = \sigma T^4 (\text{W/m}^2)$  ซึ่งเป็นการหาค่าวัตถุในอุณหภูมิหรือวัตถุคำเท่านั้น ดังนั้นหากวัตถุเป็นวัตถุจริง ต้องใส่ค่า Emissivity ( $\epsilon$ ) ในสมการด้วย ซึ่งจะได้

$$E(T) = \epsilon \sigma T^4 \quad (2.11)$$

ซึ่ง  $\epsilon$  เป็นคุณสมบัติในการแผ่รังสีความร้อนของวัตถุ โดยมีค่าเท่ากับอัตราส่วนของรังสีที่แผ่ออกจากวัตถุกับรังสีที่แผ่ออกจากการคำนวณ อุณหภูมิเดียวกัน โดยมีค่าตั้งแต่ 0 ถึง 1 ซึ่งวัตถุคำจะมีค่า  $\epsilon$  เท่ากับ 1 เสมอ เนื่องจากรังสีความร้อนที่แผ่ออกมากจากวัตถุคำเป็นความร้อนที่เกิดจากพื้นผิวด้านใน เองทึ้งหมดและมีความเข้มเท่ากันทุกทิศทาง แต่วัตถุจริงจะมีค่า  $\epsilon$  ไม่คงที่ และต่ำกว่า 1 ซึ่งค่า  $\epsilon$  ของวัตถุจริงจะขึ้นอยู่กับอุณหภูมิที่ผิวด้านนอกของวัตถุ ชนิดและลักษณะผิวด้านนอกของวัตถุ ความยาวคลื่น (Wave

Length) และมุมของการแพร่รังสี (Emission angle) ดังที่ได้กล่าวไว้แล้ว โดยวัตถุจริงจะมีความเข้มของการแพร่รังสีสูงสุดที่มุม 0 เท่ากับ 0 องศา (มนตรี, 2548)

## 2.5 กระบวนการเกิดขนมปัง

### 2.5.1 ส่วนประกอบพื้นฐานของขนมปัง

ส่วนผสมของโอดพร้อมอบประคบคัวหง แป้งสาลีชนิดแข็ง (Hard Wheat Flour) ชิสต์ เนยขาว น้ำตาลและน้ำ โอดน้ำและแป้งเป็นส่วนประกอบที่มีความสำคัญที่สุดในการทำขนมปัง ซึ่งมีผลต่อเนื้อสันผัสด้วยความชื้นของเนื้อด้านในขนมปัง (crumb) โดยทั่วไปมักจะมีน้ำมีส่วนประกอบในสูตร ประมาณ 60-70 เปอร์เซ็นต์ (Arpita et al., 2007) ในระหว่างเติมน้ำลงไปในแป้งสาลีและนวดผสมกันนั้นไกอะดินและกลูเทนนิจะอุ้มน้ำทำให้เกิดสารที่สลับซับซ้อนเรียกว่ากลูเตน (Gluten) การทำการผสมดังกล่าวจะทำให้ส่วนผสมเป็นเกิดกลูเตนมากหรือน้อยแตกต่างกันเชื่อมโยงกับชนิดของข้าวสาลี ซึ่งแป้งสาลีที่นำมาทำขนมปังควรมีปริมาณโปรตีนประมาณ 12 เปอร์เซ็นต์ การกระบวนการเกิดโอดจะทำให้โอดที่ได้มีคุณสมบัติยืดหยุ่น (elastic) หยุ่น (plastic) และเหนียวหนืด (viscous) (ศิริลักษณ์และกนลวรรณ, 2544) ส่วนผสมที่สำคัญอีกอย่างหนึ่งคือชิสต์ สายพันธุ์ที่นำมาใช้ คือ สายพันธุ์ *Saccharomyces cerevisiae* (ราฐพิและรุ่งนภา, 2532) ซึ่งชิสต์จะทำให้เกิดการพองตัวและโพรงภายในขนมปัง จะเห็นว่าการขึ้นฟูของโอดเกิดจากการหมักแป้งสาลี กับน้ำตาล ซึ่งเกิดขึ้นตามปฏิกิริยาการเกิดแป้งสตาร์ฟโอดมีเอกลักษณ์มาเกี่ยวข้องด้วย

### 2.5.2 ปราภภารณ์และการเปลี่ยนแปลงในระหว่างกระบวนการอบ

แบ่งช่วงการเกิดขนมปังตั้งแต่เริ่มเตรียมโอดจนสิ้นสุดกระบวนการอบออกเป็น 2 กระบวนการใหญ่ ๆ คือ ช่วงหมักโอดและช่วงอบขนมปัง ซึ่งมีรายละเอียดดังต่อไปนี้

ช่วงหมักโอด

ในระหว่างการหมักแป้งให้เกิดโอด การทำงานภายในโอด คือ การทำงานภายในโอดนั้น เอนไซม์โพแทอเรส (protease) ชนิดแอลfa-อะไมเลส (Alpha-amylase) จะเปลี่ยนแป้งสตาร์ฟให้เป็นน้ำตาลเดกซทริน (dextrin) ส่วนเอนไซม์โพแทอเรส(protease) ชนิดเบต้าอะไมเลส (Beta-amylase) จะเปลี่ยนน้ำตาลเดกซทริน (dexstrin) และแป้งบางส่วนให้เป็นน้ำตาลโมโนโถกและน้ำตาลโมโนเดกซูลเดี่ยวที่จะถูกย่อยต่อโดยเอนไซม์มอสเทสให้เป็นน้ำตาลโมโนเดกซูลเดี่ยวและน้ำตาลโมโนเดกซูลเดี่ยวที่จะถูกย่อยต่อโดยชิสต์ ซึ่งจะได้คาร์บอนไดออกไซด์ ออกอกโซล์ และสารอื่นอีกเล็กน้อย ซึ่งส่วนใหญ่เป็นกรด (ศิริลักษณ์และกนลวรรณ, 2544)

ออกอกโซล์ที่เกิดขึ้นในโอดซึ่งเป็นผลมาจากการหมักน้ำตาลด้วยชิสต์นั้นจะถูกระเหยออกไปในช่วงระยะเวลาการอบขนมปัง ส่วนก้าชาร์บอนไดออกไซด์ที่เกิดขึ้นจะซึมผ่านผนังเซลล์ของชิสต์ออกมาน โดยในช่วงแรกก้าชาร์บอนไดออกไซด์ที่ออกมานจะละลายน้ำ (ที่มีอยู่ในปริมาณน้อย) ในโอด จนกระทั่งน้ำนั้นอ่อนตัวด้วยการบันโอดออกไซด์ จากนั้น การบันโอดออกไซด์ที่ซึมออกมาน

ใหม่ จะออกมาในรูปของฟองก๊าซ ซึ่งฟองก๊าซเหล่านี้จะมีทั้งก้อนโอดและจะมีขนาดใหญ่ขึ้น เรื่อยๆ โดยที่มีขนาดไม่เท่ากัน จึงทำให้เกิดการพองตัวของโอด (ราฐวิไประุ่งภา, 2532) เนื่องจาก โอดมีความสามารถในการกัดกีบการบอนไดออกไซด์ที่ยืดหยุ่นขึ้น โครงสร้างของก้อนโอดจึงมีลักษณะมีเซลล์แก๊สที่คงรูปอยู่ได้ในระหว่างการหมักและการพักก้อนโอด เมื่อโอดอยู่ในระยะพักตัว (proofing period) น้ำตาลที่มีอยู่เดิมในแป้งจะถูกใช้ไปหมด ในขณะที่น้ำตาลถูกใช้ เอนไซม์ในโอด จะช่วยผลิตน้ำตาลออกมาด้วย เมื่อนำโอดที่พักตัวแล้วเข้าเตาอบ เอนไซม์จะชักจูงการทำงานต่อไปอีกใน ครึ่งเวลาแรกของการอบ และตายในเวลาต่อมา (ศรีลักษณ์และกนลวรรณ, 2544)

### ช่วงอบขนมปัง

แบ่งการเกิดขนมปังออกเป็น 3 stage โดยพิจารณาที่อุณหภูมิก่างกลางขนมปังเป็นหลัก ดังนี้

Stage ที่ 1 คือ ช่วงที่อุณหภูมิที่กึ่งกลางขนมปังตั้งแต่อุณหภูมิเริ่มต้น ( $25^{\circ}\text{C}$ ) จนถึง  $60^{\circ}\text{C}$

Stage ที่ 2 คือ ช่วงที่อุณหภูมิที่กึ่งกลางขนมปังมีค่าตั้งแต่  $60^{\circ}\text{C}$  จนกระทั่งอุณหภูมิคงที่ ประมาณ  $98^{\circ}\text{C}$  และ

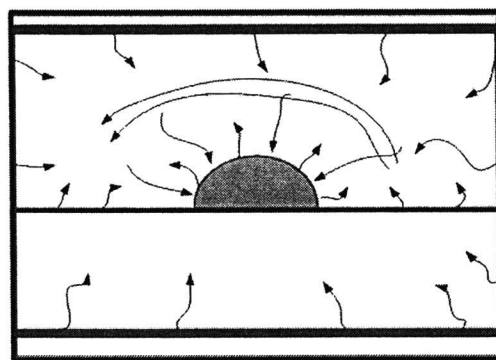
Stage ที่ 3 คือ ช่วงที่อุณหภูมิที่กึ่งกลางขนมปังคงที่ที่  $98\text{-}99^{\circ}\text{C}$  และคงอุณหภูมิเตาอบเป็นเวลา 10 นาที อุณหภูมิที่ผิวนมปังจะเพิ่มขึ้นเรื่อยๆ จนสิ้นสุดกระบวนการอบ (Therdthai, et al., 2002)

เมื่อให้ความร้อนกับโอด ความร้อนในช่วงแรกของการอบจะกระตุ้นการทำงานของยีสต์และ เอนไซม์ให้เกิดกระบวนการหมักเพิ่มขึ้น จึงเกิดก๊าซคาร์บอนไดออกไซด์และแอลกอฮอล์เสริม ขึ้นมา ทำให้โอดพองตัวมากขึ้น โดยปกติยีสต์จะหยุดการทำงานที่  $43^{\circ}\text{C}$  และตายที่อุณหภูมิ  $54^{\circ}\text{C}$  เมื่ออุณหภูมิสูงขึ้นก๊าซคาร์บอนไดออกไซด์ที่ถูกกักไว้ในโอด จะถูกปลดปล่อยออกสู่ภายนอก (ความดันต่ำกว่า) ทำให้เกิดโพรงอากาศขึ้นภายในเนื้อขนมปัง (jinthan และอรอนงค์, 2544)

ในระหว่างการอบอุณหภูมิภายในของโอดจะมีค่าเพิ่มสูงขึ้นเรื่อยๆ พลังงานความร้อนที่ผิวโอด ได้รับมีทั้งพลังงานที่เกิดจากการแผ่รังสี (Emission Energy) จากผนังเตาอบซึ่งได้รับความร้อนจาก รีทเตอร์ (ผิวของโอดจะมีการแผ่รังสีความร้อนออกมานอกกันแต่มีปริมาณน้อยมากเมื่อเทียบกับการ แผ่รังสีที่เกิดจากรีทเตอร์หรือผนังของเตาอบ) และความร้อนที่เกิดจากการพาความร้อน (Convection Energy) ของอากาศร้อนที่อยู่รอบๆ โอด เมื่ออุณหภูมิที่ผิวของโอดมีค่าสูงขึ้นความร้อนจะ เกิดการถ่ายเทจากผิวชั้นนอกเข้าสู่ชั้นในโดยอาศัยการนำความร้อน (Conduction Energy) ผ่านชั้น เนื้อโอด โดยความร้อนจะถูกส่งผ่านชั้นเนื้อโอดแต่ละชั้นจนกระทั่งถึงจุดกึ่งกลาง เมื่อมีเม็ดแป้งได้รับ ความร้อนจะค่อยๆ พองตัวขึ้น จนกระทั่งอุณหภูมิที่กึ่งกลางโอดมีค่าประมาณ  $60^{\circ}\text{C}$  เม็ดแป้งจึงเริ่ม หลอมละลายและแตกตัวเป็นเจลหรือเกิดกระบวนการ gelatinization ขึ้น (การเกิด gelatinization จะเริ่มเกิดที่อุณหภูมิ  $55^{\circ}\text{C}$  และสิ้นสุดที่อุณหภูมิ  $85^{\circ}\text{C}$  โดยประมาณ) (Therdthai, et al., 2002)

ในระหว่างที่แป้งสถาร์เกิดเจลนั้นจะดึงน้ำจากโอดมาทำให้กลูтенสูญเสียน้ำเปลี่ยนสภาพจาก เดิมที่เป็นเยื่อหุ้นกลับแข็งตัวขึ้นทำให้ได้โครงร่างของเซลล์ที่มีรูพรุน ในขณะเดียวกันเอนไซม์และ ยีสต์จะค่อยๆ ตายไปเนื่องจากไม่สามารถทนความร้อนที่เพิ่มขึ้นได้ (Therdthai, et al., 2002)

อุณหภูมิที่ผิวโคลจะค่อยๆ สูงขึ้นจนกระทั่งมีค่าประมาณ  $100^{\circ}\text{C}$  นำท่ออยู่บริเวณผิวจึงเริ่มระเหยออก อัตราการระเหยของน้ำจะมีค่าลดลงเรื่อยๆ และหยุดการระเหยเมื่อผิวดองโคลเกิด crust ขึ้นอย่าง สมบูรณ์เนื่องจากความดันไอน้ำที่ผิวนี้ค่าต่ำมาก โดยอุณหภูมิที่ผิวโคลในช่วงนี้มีค่าประมาณ  $110\text{-}125^{\circ}\text{C}$  (Arpita et al., 2007) เมื่ออุณหภูมิที่ผิวนมปังมีค่าประมาณ  $150\text{-}205^{\circ}\text{C}$  จะเริ่มเกิดปฏิกิริยา เมล็ดาร์คหรือเกิดสีน้ำตาลขึ้น (Maillard or browning Reaction) ทำให้สีผิวของนมปังค่อนข้างเข้ม พร้อมกับเกิดการระเหยของสารอินทรีย์ที่หลั่นรัส และสุกในที่สุด โดยเกิดการสูญเสียน้ำหนัก ของก้อนโคล  $9\text{-}10\%$  เนื่องจาก การระเหยของน้ำและสารอื่นๆ (Therdthai, et al., 2002)



รูปที่ 2.4 การถ่ายเทความร้อนสู่บนนมปังในระหว่างการอบ

เมื่อเกิด crust ขึ้นที่ผิวนมปัง ไอน้ำที่อยู่ข้างในจะไม่สามารถระเหยสู่ภายนอกได้ ไอน้ำที่เกิดขึ้น จึงกลับเข้ามาเกิดการควบแน่นขึ้นที่กึ่งกลางนมปัง(เนื่องจากที่กึ่งกลางนมปังมีอุณหภูมิต่ำกว่า  $100^{\circ}\text{C}$ ) การเกิดการเคลื่อนที่ของไอน้ำเข้าสู่ด้านในของนมปังมีผลทำให้นมปังเกิดการแยกชั้น เป็น crust และ crumb อุณหภูมิที่กึ่งกลางนมปังจะค่อยๆ เพิ่มขึ้นและมีค่าคงที่อยู่ที่ประมาณ  $100^{\circ}\text{C}$  (Therdthai, et al., 2002) โดยที่ crust เป็นส่วนของเปลือกที่อยู่ด้านนอกนมปัง มีความชื้นต่ำมาก และแนวโน้มการเพิ่มขึ้นของอุณหภูมิตามอุณหภูมิของอากาศภายในเตาอบ ส่วน crumb เป็นส่วนที่อยู่ด้านในนมปังถัดเข้าไปจาก crust มีความชื้นค่อนข้างคงที่และอุณหภูมิจะค่อยๆ เพิ่มขึ้นแต่ไม่ เกิน  $100^{\circ}\text{C}$  ดังที่ได้กล่าวไว้แล้ว (Zanoni and Peri, 1993)

## 2.6 งานวิจัยที่เกี่ยวข้อง

### 2.6.1 งานวิจัยที่เกี่ยวข้องกับการอบนมปัง

Therdthai, et al., (2002, 2004) ทำการทดลองเพื่อหาอุณหภูมิที่เหมาะสมในแต่ละ zone ของการ อบนมปัง (นมปังแบบไวน์ชันวิส) แบ่งกระบวนการเกิดนมปังออกเป็น 4 zone ดังแสดงรูปที่ 2.5 โดยพิจารณาจากอุณหภูมิที่ผิวนมปังเป็นหลักและใช้แบบจำลองทางคณิตศาสตร์ในการ พิจารณาผลของอุณหภูมิที่ผิวนมปังและระยะเวลาในการอบนมปังต่อการสูญเสียน้ำหนัก สีและ

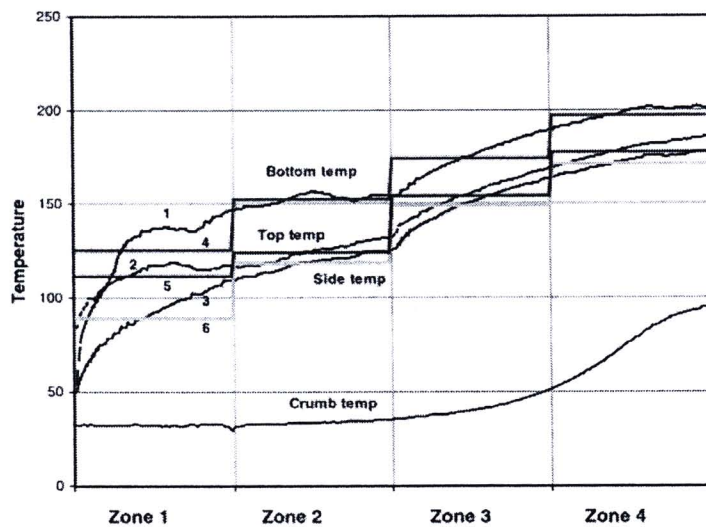
การเกิด gelatinization ของข้นปังในระหว่างการอบ จากการทดลองพบว่าค่าอุณหภูมิที่ผิวใน zone ต่างๆที่ทำให้เกิดการสูญเสียน้ำหนักต่ำที่สุด คือ 115°C 130°C 156°C และ 176°C ตามลำดับ โดยมีหลักในการพิจารณาการควบคุมอุณหภูมิดังนี้

ช่วง zone 1 อุณหภูมิที่ผิวมีค่าก่อนข้างต่ำ (ประมาณ 40°C) ทำให้ความดันไออกซ์เจนลดลง จึงมีการสูญเสียน้ำหนักก่อนข้างต่ำ ยังไม่มีเกิดการเปลี่ยนสีและกระบวนการ gelatinization ขึ้น เมื่ออุณหภูมิเพิ่มขึ้นใน zone 2 และ 3 ความดันไออกซ์เจนลดลงด้วย ส่งผลให้เกิดการสูญเสียน้ำหนักก่อนข้างสูง โดย zone 3 จะมีปริมาณการสูญเสียน้ำหนักสูงสุด ซึ่งเกิดจากน้ำที่ผิวส่วนใหญ่เกิดการระเหยในช่วง zone นี้ โดยในช่วงสุดท้ายของ zone 3 จะเริ่มน้ำมันการเกิด gelatinization ขึ้น และเกิดขึ้นในอัตราที่สูง ดังแสดงในรูปที่ 2.6

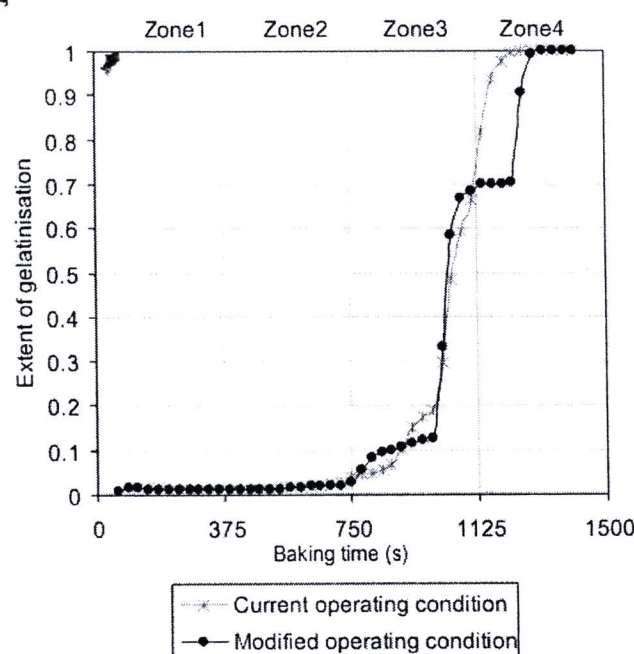
กระบวนการ gelatinization จะเกิดขึ้นเรื่อยๆ และเกิดอย่างสมบูรณ์เมื่อสิ้นสุด zone 4 ดังแสดงในรูปที่ 2.6 อย่างไรก็ตามการเพิ่มอุณหภูมิในช่วง zone 4 จะไม่ทำให้เกิดการสูญเสียน้ำหนักเพิ่มขึ้น อย่างมีนัยสำคัญ เพราะความชื้นส่วนใหญ่ของเปลือกนอกข้นปัง ได้มีการระเหยไประหว่างการอบ ใน zone 3 ทำให้ความดันไออกซ์เจนใน zone 4 มีค่าต่ำแม้อุณหภูมิขังคงเพิ่มขึ้นก็ตาม

เมื่อพิจารณาที่สีของ crust พบร่วมกับอุณหภูมิผิว ในช่วงที่ 3 และ 4 ส่งผลอย่างมีนัยสำคัญต่อการเกิดสีของ crust เปรียบเทียบกับ zone 1 และ 2 เพราะสีของ crust เกิดจากปฏิกิริยาเมลลาร์ด (Maillard Reaction) โดยปฏิกิริยาเมลลาร์ด จะเริ่มเกิดเมื่ออุณหภูมิที่ผิวน้ำมีค่าประมาณ 150-205°C (Pyler, 1988) ดังนั้นหากต้องการให้สีผิวของ crust คล้ำขึ้น ต้องเพิ่มอุณหภูมิในช่วง zone 3 และ zone 4 แต่หากเพิ่มอุณหภูมิใน zone 3 และ 4 ทำให้เกิดการสูญเสียน้ำหนักมาก ดังนั้นหากต้องการลดการสูญเสียน้ำหนักเหลือน้อยที่สุด ควรจะมีการลดลงอุณหภูมิที่ในช่วง zone 1 และ 2 เพราะอุณหภูมิใน zone 1 และ 2 ไม่มีผลต่อการเกิดสีของ crust อย่างมีนัยสำคัญ

การปรับลดปริมาณการจ่ายพลังงานในช่วง zone 1 zone 3 และ zone 4 ลงประมาณ 3.5 % ในขณะเดียวกันปรับปริมาณการไหลดองอากาศใน zone 3 เป็น 100 % จะทำให้อุณหภูมิที่ผิวใน zone 1 และ zone 3 มีค่าต่ำลง ส่งผลให้อัตราการเกิด gelatinization ใน zone 3 อยู่ ๑ ลดลงด้วย และเมื่อให้ความร้อนต่อไปอุณหภูมิใน zone 4 จะสูงขึ้น ทำให้อุณหภูมิที่ crust เพิ่มขึ้นจากจุดเริ่มต้นจนถึง 99°C (เกิด gelatinization อย่างสมบูรณ์) เมื่อสิ้นสุดกระบวนการอบ สีของเปลือกนอกข้นปัง (crust) อยู่ในช่วงที่ยอมรับได้ซึ่ง และการสูญเสียน้ำหนักลดลง 1.4 %



รูปที่ 2.5 กราฟแสดงการเปลี่ยนแปลงอุณหภูมิที่ผิวน้ำปังเปรียบเทียบกับอุณหภูมิกึ่งกลางขนมปังใน zone 1 2 3 และ 4 โดย (1) คืออุณหภูมิที่ผิวด้านล่างขนมปัง (2) คืออุณหภูมิที่ผิวด้านบนขนมปัง (3) คืออุณหภูมิผิวด้านข้างขนมปัง (4) คืออุณหภูมิที่ผิวด้านล่างขนมปังโดยเฉลี่ย (5) คืออุณหภูมิที่ผิวด้านบนขนมปังโดยเฉลี่ย (6) คืออุณหภูมิผิวด้านข้างขนมปังโดยเฉลี่ย



รูปที่ 2.6 กราฟแสดงการเกิด gelatinization ของขนมปังเปรียบเทียบระหว่างการอบภายใต้เงื่อนไขเดิมและเงื่อนไขที่มีการปรับลดอุณหภูมิในบางช่วงของการอบ



## 2.6.2 การเฝ้าระวังและการตรวจสอบอุณหภูมิของอาหาร

Ibarra, et al. (2000) ได้ประยุกต์ใช้งานกล้องถ่ายภาพความร้อนในสายการผลิตอาหาร โดยใช้กล้องถ่ายภาพความร้อนในการบันทึกภาพถ่ายการแพร่รังสีความร้อนและประมาณค่าอย่างต่อเนื่องบนสายพาน ซึ่งช่วยให้อาหารมีความสะอาดปลอดภัย เหมาะสมสำหรับอาหารพร้อมรับประทาน

Fito, et al. (2004) ได้ใช้กล้องถ่ายภาพความร้อน ในการสร้างแบบจำลองในการกำจัดน้ำ โดยการวัดการกระจายของอุณหภูมิในผลไม้ตระกูลส้ม ในระหว่างการทำแห้ง ซึ่งสามารถใช้ในการคำนวณและวิเคราะห์หาจุดสุดท้ายของการทำแห้งและสามารถพัฒนาไปเป็นระบบควบคุมแบบออนไลน์ (Gowen, et al., 2010)

Meyer, et al. (1999) ใช้วิธีการวัดแบบไม่สัมผัสในการประมาณค่าอุณหภูมิกายในเนื้อไก่ (เนื้อไก่ ไทรหนัง ไทรกระดูก) ตัวอย่างเนื้อไก่ที่ใช้คือเนื้อหน้าอก โดยวัดอุณหภูมิที่กึ่งกลางความหนาของชิ้นเนื้อไก่ ซึ่งอุณหภูมนี้จะสัมพันธ์กับอุณหภูมิที่ผิวนอกไก่และเวลาในการแช่เย็นวัดอุณหภูมิที่ผิวนอกไก่โดยใช้กล้องถ่ายภาพความร้อน ในช่วงความยาวคลื่น 3.4–5  $\mu\text{m}$  (ไม่สนใจไอน้ำที่เกาะอยู่ที่ผิวเนื้อไก่) จากนั้นใช้การวิเคราะห์โครงข่ายประสาทเทียม (Neural Network) ในการหาความสัมพันธ์ระหว่างอุณหภูมิกายใน อุณหภูมิที่ผิว และระยะเวลาในการแช่เย็นจากนั้นนำความสัมพันธ์ที่ได้ไปทดสอบกับการทำงานจริง ซึ่งพบว่าความสัมพันธ์ที่ได้จากการวิเคราะห์โครงข่ายประสาทเทียมนี้สามารถนำไปใช้ในการคำนวณค่าอุณหภูมิกายในเนื้อไก่ได้จริง